

С 345 0

15/III - 65

Д-183

ОБЪЕДИНЕННЫЙ
ИНСТИТУТ
ЯДЕРНЫХ
ИССЛЕДОВАНИЙ

Дубна



Р-1985

В.И.Данилов, И.Б.Енчевич, Б.И.Замолодчиков,
Э.А.Полферов, Е.И.Розанов, В.И.Смирнов, В.Г.Тестов

Лаборатория ядерных процессов

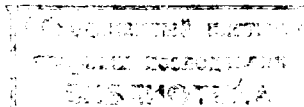
УВЕЛИЧЕНИЕ ДЛИТЕЛЬНОСТИ
ИМПУЛЬСОВ ПУЧКОВ ЧАСТИЦ
СИНХРОЦИКЛОТРОНА ОИЯИ НА 680 МЭВ

1965

29.9.21
49
Б.И.Данилов, И.Б.Енчевич, Б.И.Замолодчиков,
Э.А.Полферов, Е.И.Розанов, В.И.Смирнов, В.Г.Тестов

УВЕЛИЧЕНИЕ ДЛЯТЕЛЬНОСТИ
ИМПУЛЬСОВ ПУЧКОВ ЧАСТИЦ
СИНХРОЦИКЛОТРОНА ОИЯИ НА 680 МЭВ

Направлено в журнал "Атомная энергия"



Ускоряемые в синхроциклотроне ионы образуют сгусток, форма и размеры которого определяются радиально-фазовыми и бетатронными колебаниями. В результате взаимодействия такого сгустка с мишенью, установленной на конечном радиусе ускорения, или с магнитным полем системы вывода пучки вторичных частиц и выведенных протонов имеют вид импульсов (макроструктура пучков), которые в свою очередь состоят из микроимпульсов (микроструктура пучков). Для синхроциклотрона ОИЯИ длительность макроимпульсов пучков частиц (длительность импульса) составляет примерно 600 мкsec, т.е. около 8% от периода модуляции.

Однако при проведении на ускорителе некоторых экспериментов, в частности при работе со схемами совпадений, желательно иметь импульсы пучков максимально возможной продолжительности при сохранении неизменным их интегрального потока. Устранение или сглаживание импульсной структуры приводит к снижению загрузки аппаратуры, к понижению плотности фонового излучения и, таким образом, к более эффективному использованию ускорителя. В опытах, направленных на исследование различных процессов распада и захвата пионов и мюонов (особенно процессов, идущих с низкими вероятностями), более равномерное распределение частиц во времени имеет принципиальное значение, так как открывает новые возможности для наблюдения редких событий. В этом отношении увеличение длительности макроимпульсов пучков является очень важным.

В настоящее время для увеличения длительности импульса пучка на синхроциклонах используется несколько различных методов ^{/1-7/}. Минимальных потерь пучка при наибольшей длительности импульса удалось достичь, прикладывая частотно-модулированное ускоряющее напряжение к дополнительному электроду, действующему на конечных радиусах ускорения ^{/3,7/}. Однако на синхроциклоне ОИЯИ реализация этого метода затруднена.

В настоящей работе описывается еще один метод увеличения длительности импульса пучка, испытанный на синхроциклоне ОИЯИ.

С достаточной для анализа точностью длительность взаимодействия пучка протонов с мишенью, установленной на радиусе r_m и азимуте ϕ_m , при сплошном спектре амплитуд радиальных колебаний можно определить из выражения:

$$T = \int_{r_m - \delta_r}^{r_m} \frac{dr}{i_s(t) + \dot{\rho}_{B, M_s}} , \quad (1)$$

где скорость расширения равновесной орбиты

- а) полная длительность импульса пучка мезонов составляет примерно половину длительности импульса тока катушек;
- б) при правильном подборе времени выключения ускоряющего напряжения, положения мишени относительно катушек и тока в катушках потерь интенсивности нет.

Л и т е р а т у р а

1. В.И.Данилов и др. Возможные пути повышения эффективности шестиметрового синхроциклотрона. Б 1-1543, ОИЯИ, Дубна, 1963.
2. B.Hedin. Longer Pulse Length a Vibrating Target in the CERN Synchrocyclotron. CERN, Report 61-21, 1961.
3. A.Cabrespine. Comptes Rendus, 250, p.2224 (1960);
A.Cabrespine. J.Phys. Radium, 21, 332 (1960).
4. А.Л.Минц, Н.К.Каминский. ЖТФ, XXVII, 1837, 1957.
5. F.M.Russel. Nature, 190, 4773 (1961).
6. G.Huxtable, P.S.Rogers, F.M.Russel. Nucl. Instrum. and Methods, 23, 357 (1963).
7. E.H.Molthen. Nucl. Instr. and Methods, 29, 29 (1964).

Рукопись поступила в издательский отдел
3 февраля 1965 г.

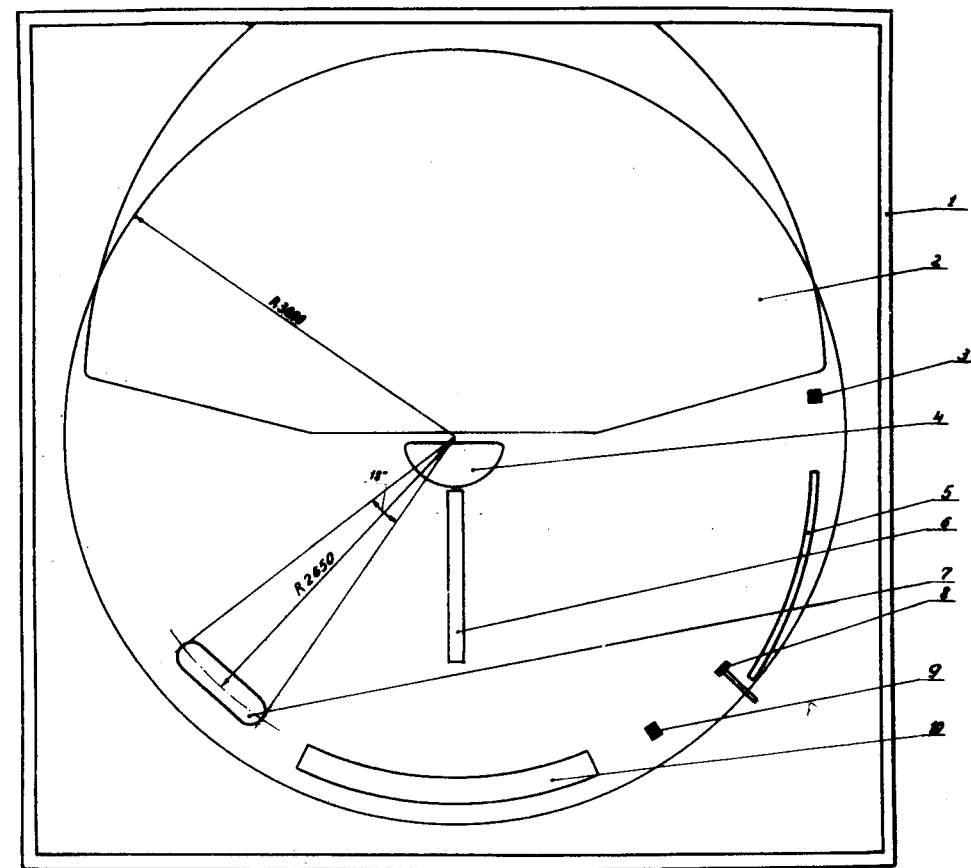


Рис. 1. Схема размещения узлов ускорительной камеры синхроциклотрона ОИЯИ.
1 - вакуумная камера, 2 - дуант, 3 - возбудитель, 4 - фокусирующий электрод,
5 - магнитный канал, 6 - пробник для измерения тока пучка на малых радиусах,
7 - катушки растяжки пучка, 8 - нейтронная мишень, 9 - регенератор,
10 - диапазон изменения положений мезонной мишени.

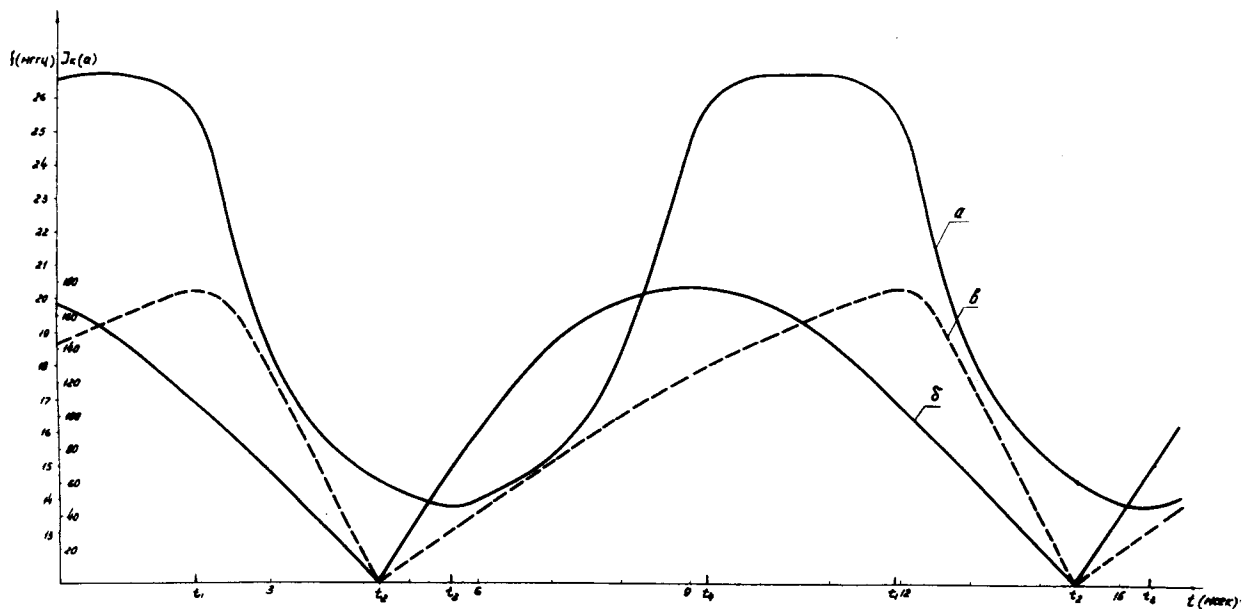


Рис. 2. Зависимости частоты ускоряющего напряжения (кривая a) и тока в катушках растяжки (кривые b и c) от времени.
 t_1 - начало ускорения, t_2 - момент включения катушек растяжки, t_3 - конец ускорения,
 t_4 - окончание процесса растяжки пучка.

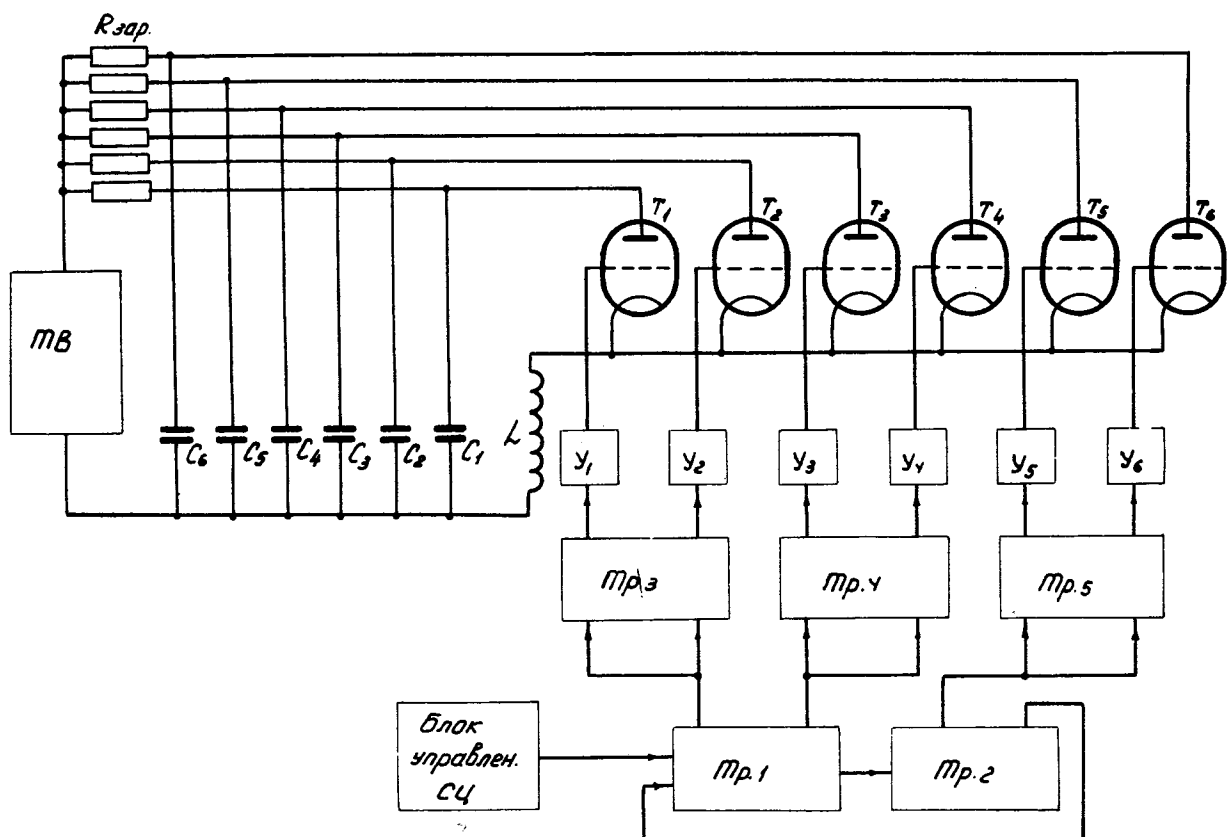


Рис. 3. Схема питания и управления катушек растяжки.
 TV - тиристорный выпрямитель, Тр - триггер, У - усилитель, Т - тиатрон, С - конденсатор,
 $R_{\text{зар}}$ - зарядное сопротивление.

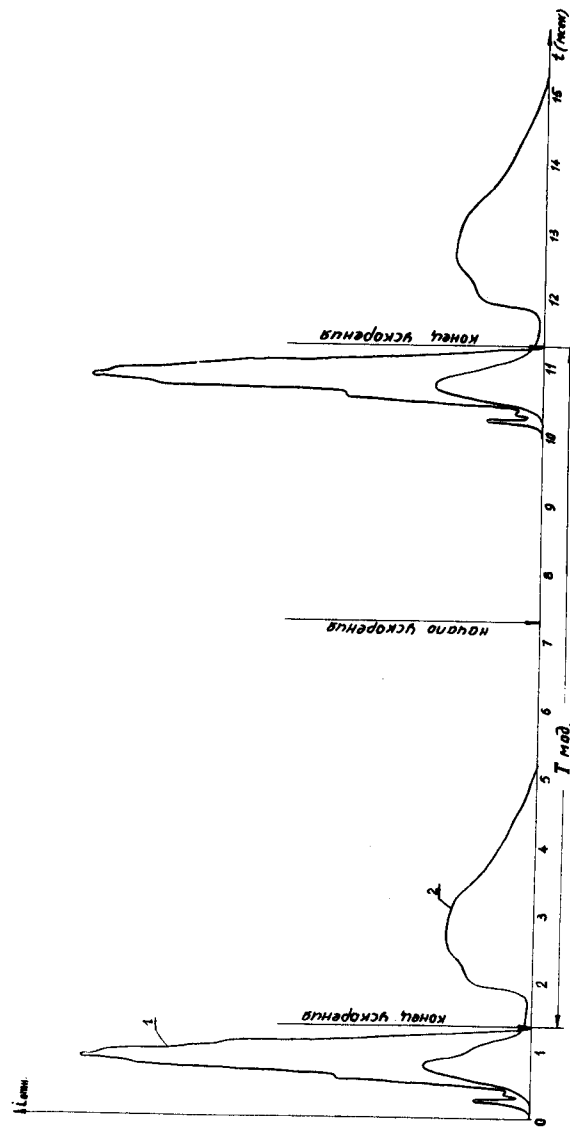


Рис. 4. Формы импульсов пучков синхрониклоторона ОИЯИ:
1) обычный режим, 2) режим растяжки пучка.

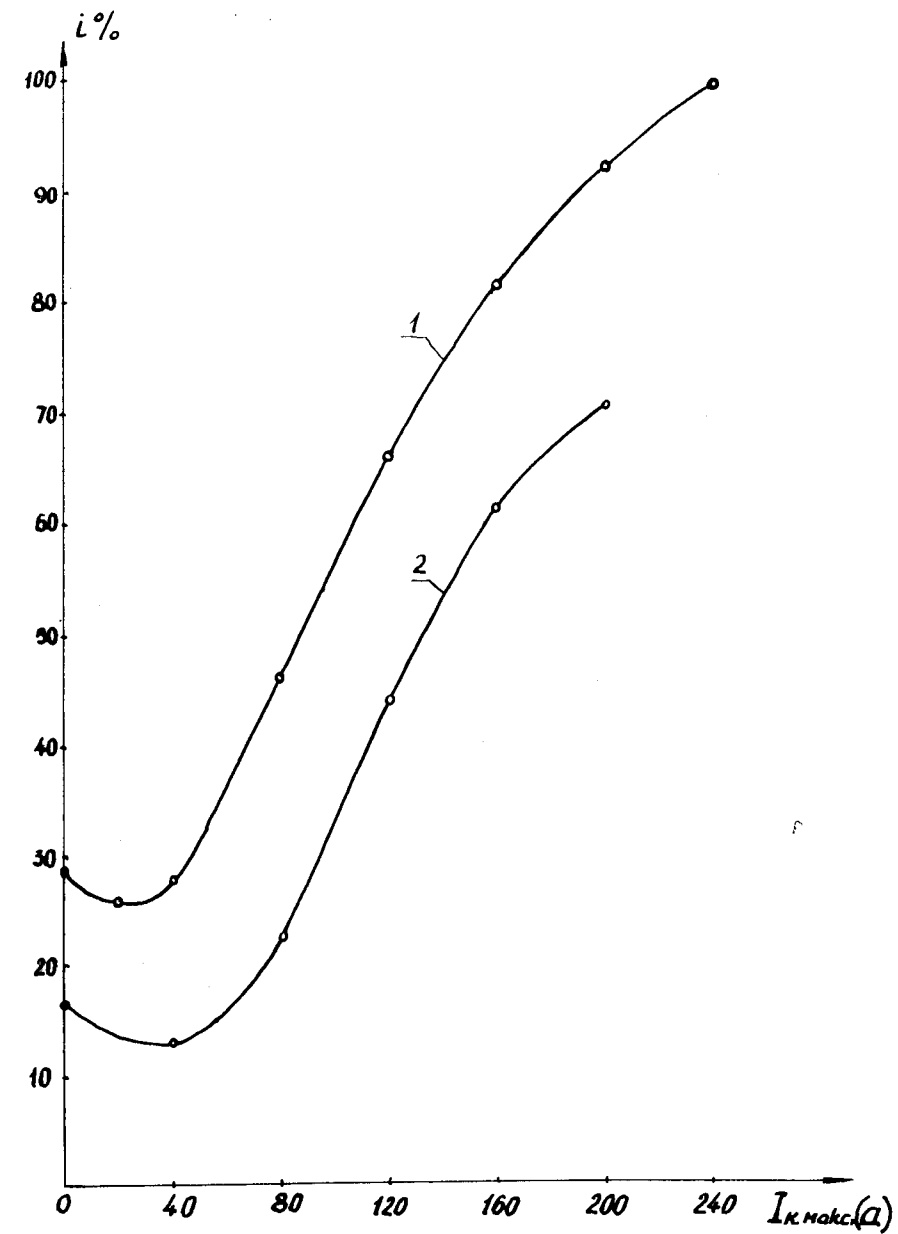


Рис. 5. Зависимость интенсивности растянутого пучка от тока катушек.
1) частота модуляции 80 Гц, 2) частота модуляции 100 Гц.